

اثر تأخیر برشی در تیرهای صندوقه‌ای

محمد مهدی علی نیا

استادیار دانشکده‌های عمران و کشتی‌سازی
دانشگاه صنعتی امیرکبیر

محمد قاسم سحاب

عضو هیأت علمی دانشگاه تفرش

چکیده

لنگر خمشی و نیروی برشی غالباً بطور توأم در مقاطع تیرهای بارگذاری شده تحت بارهای جانبی وجود دارند. تنشهای برشی ایجاد شده در مقاطع تیر را تغییر فرم داده و از حالت مستوی قبل از بارگذاری خارج می‌سازند. در تیرهای بال پهن انحنای عرضی بوجود آمده در مقاطع، قابل توجه گشته و قسمتهایی از بال که در فواصل دورتری از جان قرار دارند بنحو ضعیفتری در تحمل لنگر خمشی شرکت خواهند داشت. به عبارت دیگر به علت تأخیر و یا عقب‌نشینی خاصی که قسمتهایی از مقطع تحت تنشهای برشی نموده‌اند تنشهای محوری کوچکتری در آنها بوجود می‌آید. این پدیده به تأخیر برشی موسوم است. در این مقاله معادلاتی برای تنشها و تغییر شکلهای نوعی تیر صندوقه‌ای با شرایط تکیه‌گاهی مختلف و دو نوع بارگذاری متمرکز و گسترده یکنواخت با منظور کردن اثر تأخیر برشی بدست آورده شده است. همچنین با ارائه مثالهای عددی و ذکر اعداد و ارقام اهمیت پدیده تأخیر برشی تشریح شده است.

THE SHEAR-LAG EFFECT IN BOX-GIRDER BEAMS

M. M. Alinia, Ph.D.

Assistant Prof. of Civil Eng. Dept. and Head of the Naval Architectur Dept.
Amirkabir University of Technology.

M. G. Sahab, MSC.

Lecturer in Tafresh university.

ABSTRACT:

Shear displacements in beams, wide flange girders, box beams and semimonocoque structures subjected to simultaneous bending and shear, causes longitudinal displacements in parts of flange remote from the webs to lag behind those nearer the webs. Consequently the cross section tends to curve significantly in breadth so that the basic assumption of the elementary theory of bending, i-e, "the cross sections which were plane before bending remain plane after bending" becomes invalid. This in turn causes

an ununiform distribution of stresses across the flange, being called as the "shear lag" phenomenon.

In this paper some stress & deformation equations have been determined for box girder beams with different loading and support conditions, taking the shear-lag into account.

Also, the importance of this phenomenon has been outlined by presenting a few numerical examples.

مقدمه

معادلات دیفرانسیل تنشها و تغییر شکلهای

با در نظر گرفتن یک تیر صندوقه‌ای (شکل ۱-الف) و استفاده از روش رینسر [۲،۱] می‌توان معادلاتی برای تنشهای خمشی و منحنی الاستیک تیر بدست آورد. تغییر مکان نقاط در چهار بخش مقطع نشان داده شده و برای هر بخش یک دستگاه مختصات x-y در نظر گرفته شده است که به شرح زیر فرض می‌گردد:

برای دال فوقانی

$$u_t(x, y) = -h_t [z'(x) + 1 - \frac{y^2}{w^2}] u(x) \quad (1)$$

برای دال تحتانی

$$u_b(x, y) = h_b [z'(x) + 1 - \frac{y^2}{w^2}] u(x) \quad (2)$$

با استفاده از اصل انرژی پتانسیل حداقل معادلات دیفرانسیلی را برای این دو تابع بدست می‌آوریم:

انرژی پتانسیل سیستم بارگذاری برابر است با:

$$\pi_L = \int M(X) Z''(x) dX \quad (3)$$

همچنین انرژی پتانسیل جانها برابر است با:

$$V_W = \frac{1}{4} \int EI_W (z'')^2 dX \quad (4)$$

در رابطه فوق I_W ممان اینرسی جانهای تیر است که برابر است با:

$$I_W = 2 \left[\frac{t_w h^3}{12} + t_w h \left(\frac{h}{4} - h_t \right)^2 \right] \quad (5)$$

انرژی کرنشی دال فوقانی و تحتانی نیز از عبارت زیر محاسبه می‌شود:

$$V_s = \frac{1}{4} \int_0^L \int_0^W 4t_t (E\varepsilon_{xt}^2 + G\gamma_{yt}^2) dydx + \frac{1}{4} \int_0^L \int_0^W 2t_b (E\varepsilon_{xb}^2 + G\gamma_{yb}^2) dydx \quad (6)$$

کرنشهای محوری و برشی که در عبارت فوق وارد شده‌اند برابرند با:

$$\varepsilon_{xt} = \frac{\partial u_t}{\partial x} = -h_t \left[z'' + \left(1 - \frac{y^2}{w^2} \right) U'(x) \right] \quad (7)$$

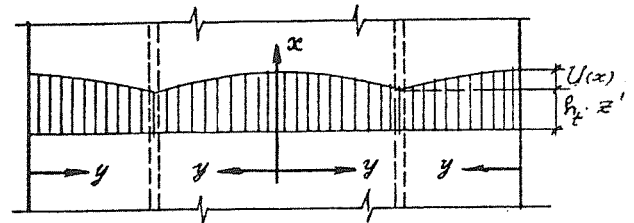
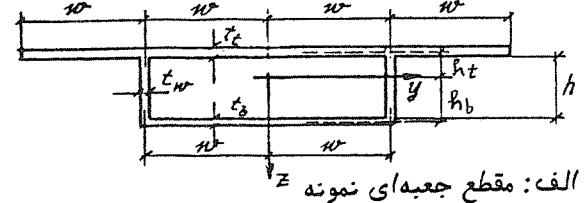
$$\varepsilon_{xb} = \frac{\partial u_b}{\partial x} = h_b \left[z'' + \left(1 - \frac{y^2}{w^2} \right) U'(x) \right] \quad (8)$$

$$\gamma_{yt} = \frac{\partial u_t}{\partial y} = -2 \frac{h_t}{w} \times \frac{y}{w} U(x) \quad (9)$$

$$\gamma_{yb} = \frac{\partial u_b}{\partial y} = -2 \frac{h_b}{w} \times \frac{y}{w} U(x) \quad (10)$$

با جایگذاری عبارت‌های (۷) تا (۱۰) در معادله (۶) و انتگرال‌گیری نسبت به y عبارت زیر بدست می‌آید:

$$V_s = \frac{1}{4} \int_0^L EI_s \left\{ [Z''(x)]^2 + \frac{\lambda}{15} [U'(x)]^2 \right\}$$



شکل ۱. ب: تابع تغییر مکان مفروض

در این معادلات پیوستگی تغییر مکانها در محل اتصال بال و جان ($y=w$) حفظ گردیده و در نقاطی که $y=0$ است تغییر مکان $u(x,0)$ بر حسب تابع مجهول $u(x)$ بیان می‌شود. تابع $u(x)$ معرف شدت تأخیر برشی در بالهاست. برای نقاطی که y آنها بین $w/4$ و $3w/4$ است تغییرات سهمی شکلی برای $u(x,y)$ فرض شده است. برای تعیین توابع $u(x)$ ، $z(x)$ انرژی کرنشی کل محاسبه شده و

$$z'''(x) = -n \frac{M'(x)}{EI} \quad z(x) \text{ برای} \quad (20)$$

$$u(x) = 0 \quad u(x) \text{ برای} \quad (21)$$

پس از اینکه $u(x)$ از معادله (۱۶) تعیین شد می توان توزیع تنش $\sigma(x)$ را از معادله زیر مشخص نمود:

$$\sigma_x = \pm E h_{t,b} \left[\frac{M(x)}{EI} - \left(1 - \frac{\gamma^2}{W^2} - \frac{\gamma}{3} \times \frac{I_s}{I} \right) U'(x) \right] \quad (22)$$

در رابطه فوق در صورتی که لنگر خمشی $M(x)$ تار پایین را به کشش درآورد مثبت فرض می شود: معمولاً پخش عرضی تنشها به گونه ای است که در محل تقاطع بال و جان تنشهای خمشی حداکثر می گردند (تأخیر برشی مثبت) برای محاسبه این تنش باید در معادله (۷) γ را مساوی w قرار داد و سپس از رابطه هوک تنش را بدست آورد:

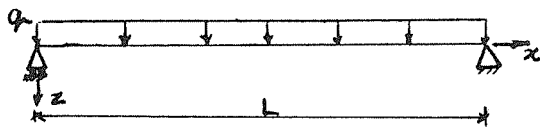
$$\sigma_x = E h_{t,b} z''_{st}(x) \quad \gamma = w \quad \text{در} \quad (23)$$

در تئوری مقدماتی خمش نیز رابطه مشابهی به شکل زیر ارائه می شود که در تمام عرض مقطع معتبر است:

$$\sigma_x = E h_{t,b} z''_{et}(x) \quad (24)$$

تعیین منحنی ارتجاعی و تنشهای خمشی تیر صندوقه ای با شرایط مختلف بر طبق تئوری تأخیر برشی و مقایسه آن با تئوری مقدماتی خمشی

الف) تیر دوسر ساده تحت اثر بارگسترده یکنواخت به شدت q .



شکل ۲

معادلات تغییرات لنگر خمشی و نیروی برشی این تیر به شکل زیر است:

$$M(x) = \frac{ql}{2}x - \frac{q}{2}x^2 \quad V(x) = \frac{ql}{2} - qx$$

شرایط مرزی $z(x)$ عبارتند از:

$$z = 0, z'' = 0 \quad \text{در} \quad x = l, x = 0$$

اگر مقادیر $M(x)$ و $M''(x)$ را از معادله (۲۵) در معادله (۱۵) جایگزین کنیم معادله دیفرانسیل منحنی ارتجاعی تیر حاصل

$$+ \frac{\gamma}{3} Z''(x) U'(x) + \frac{G}{E} \times \frac{\gamma}{3W^2} [U(x)]^2 dx \quad (11)$$

در رابطه فوق I_s ممان اینرسی بالهاست که به صورت زیر محاسبه می گردد:

$$I_s = 4wt_t h_t^2 + 2wt_b h_b^2 \quad (12)$$

انرژی پتانسیل کل برابر است با:

$$\pi = -\pi_l + v_w + v_s$$

$$\pi = \int_0^L \left\{ \frac{EI}{\gamma} [Z''(x)]^2 + M(x) Z''(x) \right\} dx + \int_0^L \frac{EI_s}{\gamma} \left\{ \frac{\gamma}{15} [U'(x)]^2 + \frac{\gamma}{3} Z''(x) U'(x) + \frac{G}{E} \times \frac{\gamma}{3W^2} [U(x)]^2 \right\} dx \quad (13)$$

در رابطه فوق I ممان اینرسی کل مقطع است:

$$I = I_w + I_s \quad (14)$$

اگر شرایط لازم برای حداقل شدن معادله (۱۳) را با توجه به معادلات اوپلر-لاگرانژ بنویسیم روابط زیر برای $U(x), Z(x)$ بدست می آید:

$$z^{iv} - k^2 z''(x) = k^2 \frac{M(x)}{EI} - n \frac{M''(x)}{EI} \quad (15)$$

$$U''(x) - k^2 U(x) = \frac{\delta n V(x)}{4EI} \quad (16)$$

در معادلات فوق $V(x)$ نیروی برشی است و n و k پارامترهای ریسر هستند که از عبارت زیر محاسبه می شوند:

$$n = \frac{1}{1 - \frac{\delta}{\gamma} \times \frac{I_s}{I}}, \quad k = \frac{1}{W} \sqrt{\frac{\delta n}{\gamma}} \times \frac{G}{E} \quad (17)$$

همچنین شرایط مرزی زیر نیز برای حداقل شدن رابطه (۱۳) باید برقرار باشند: برای تکیه گاه مفصلی

$$z''(x) = -n \frac{M(x)}{EI} \Rightarrow z''(x) = 0 \quad z(x) \text{ برای} \quad (18)$$

$$u'(x) = \frac{-\delta n M(x)}{4EI} \Rightarrow u'(x) = 0 \quad u(x) \text{ برای} \quad (19)$$

برای تکیه گاه گیردار

(۲۸)

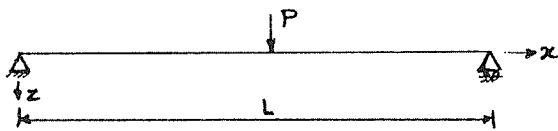
$$\frac{Z_{(max)et}}{Z_{(max)st}} = 1 - \frac{3\lambda^2}{8} \times \frac{1-n}{(kL)^2} \left(\frac{(kL)^2}{\lambda} - \frac{1}{\lambda} + \frac{1}{\lambda \operatorname{tgh} kL} + \frac{1}{\operatorname{cosh}(kL/\lambda)} \right)$$

از معادلات (۲۳) و (۲۴) می توان نتیجه گرفت که برای مقایسه تنشهای حداکثر کافی است $Z''(max)$ ها را مقایسه کنیم:

$$\frac{\sigma_{(max)et}}{\sigma_{(max)st}} = \frac{Z''(max)et}{Z''(max)st} = \frac{1}{1 + \frac{\lambda(1-n)}{(kL)^2} \left(\frac{1}{\cos h(kL/\lambda)} - 1 \right)} \quad (29)$$

در اشکال (۳- الف) و (۳- ب) معادلات (۲۸) و (۲۹) بر حسب kL و n به صورت منحنیهای ترسیم شده اند:

(ب) تیر دو سر ساده تحت اثر بار متمرکز در وسط:



شکل ۴

با بکار بردن روش یاد شده در تیرهای ساده تحت اثر بار متمرکز می توان معادله تغییر شکل را با منظور کردن تأخیر برشی به شکل زیر بدست آورد:

$$z_{st}(x) = -\frac{P}{12EI}x^3 + \frac{P}{2EI} \left(\frac{L^2}{8} - \frac{1-n}{k^2} \right) x + \frac{(1-n)P}{2k^2EI \cos h(kL/2)} \sin kx \quad 0 \leq x \leq \frac{L}{2}$$

$$z_{st}(x) = -\frac{P}{12EI}x^3 - \frac{PL}{4EI}x^2 + \frac{P}{2EI} \left(\frac{1-n}{k^2} + \frac{3L^2}{8} \right) x - \frac{(1-n)P}{2k^2EI(e^{kL} + e^{-kL})} e^{kx} + \frac{(1-n)Pe^{3/2kL}}{2k^2EI(1 + e^{kL})} e^{-kx} - \frac{PL}{2EI} \left(\frac{1-n}{k^2} + \frac{L^2}{24} \right) \quad \frac{L}{2} \leq x \leq L \quad (30)$$

همچنین بر اساس تئوری مقدماتی خمش داریم:

$$z_{et}(x) = -\frac{P}{12EI}x^3 - \frac{PL^2}{16EI}x \quad 0 \leq x \leq \frac{L}{2}$$

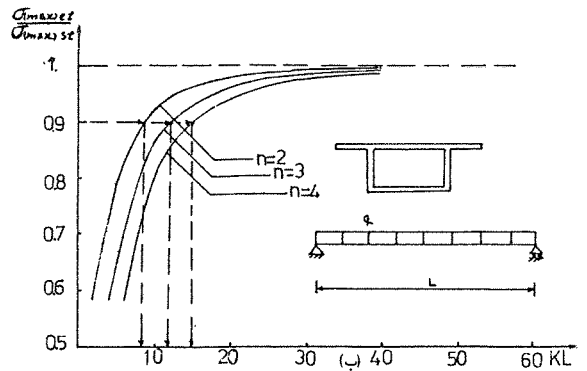
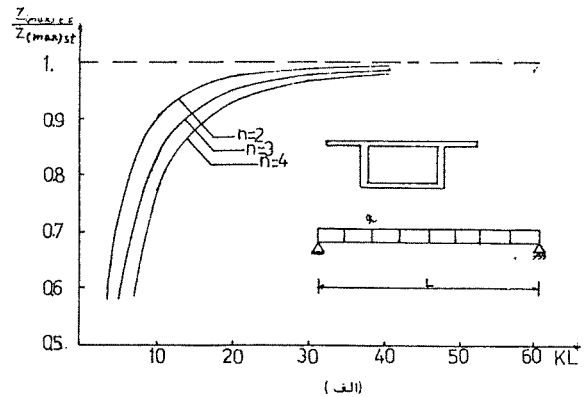
می شود که پس از حل آن و اعمال شرایط مرزی معادله منحنی ارتجاعی تیر به شکل زیر مشخص می شود:

$$z_{st}(x) = \frac{q}{24EI}x^4 - \frac{qL}{12EI}x^3 + \frac{q(1-n)}{24x^2EI}x^2 + \frac{q}{EI} \left(\frac{L^2}{24} - \frac{(1-n)L}{k^2L} - \frac{1-n}{k^2L \operatorname{tgh} kL} \right) x + \frac{q(1-n)}{2k^2EI \sin kL} [(e^{-kL}-1)e^{kx} - (e^{kL}-1)e^{-kx}] + \frac{q(1-n)}{k^2EI} \quad (26)$$

بر اساس تئوری مقدماتی خمش نیز می توان معادله منحنی ارتجاعی تیر را بدست آورد:

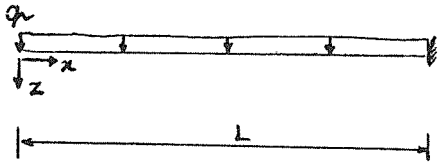
$$z_{et}(x) = \frac{q}{24EI}x^4 - \frac{qL}{12EI}x^3 + \frac{qL^2}{24EI}x \quad (27)$$

با قراردادن $x=L/2$ در روابط فوق می توان نسبت Z_{max} بدست آمده از دو تئوری یاد شده را به صورت زیر تعیین نمود:



شکل ۳. منحنی تغییرات $\frac{\sigma_{(max)et}}{\sigma_{(max)st}}$ و $\frac{Z_{(max)et}}{Z_{(max)st}}$ برای تیر صندوقه ای با تکیه گاههای ساده و بار گسترده یک نواخت

ج) تیر طره‌ای تحت اثر بار گسترده یکنواخت به شدت q :



شکل ۶.

محاسبه منحنی ارتجاعی تیر بادر نظر گرفتن تئوری تأخیر برشی به معادله زیر منجر می‌شود:

$$z_{st}(x) = \frac{q}{24EI}x^4 + \frac{q(1-n)}{2k^2EI}x^2 - \frac{qL^3}{6EI}x - \frac{q(1-n)}{2k^2EICoshkL} \times \left(\frac{e^{-kL}}{k} + L \right) e^{kx} + \frac{q(1-n)}{k^2EI} \left(\frac{e^{-kL}}{2kCoshkL} + \frac{L}{2CoshkL} - \frac{1}{k} \right) e^{-kx} + \frac{q(1-n)}{k^2EI} \left[\frac{tghkL}{k} \left(\frac{e^{-kL}}{k} + L \right) + \frac{e^{-kL}}{k^2} - \frac{L^2}{2} + \frac{qL^3}{6EI} \right] \quad (34)$$

بر اساس تئوری مقدماتی خمش نیز معادله تغییر شکل تیر برابر خواهد بود با:

$$z_{et}(x) = \frac{q}{24EI}x^4 - \frac{qL^3}{6EI}x + \frac{qL^3}{6EI} \quad (35)$$

همانند موارد قبل می‌توان به کمک معادلات (۳۴) و (۳۵) به نتایج زیر رسید:

$$\frac{z_{(max)et}}{z_{(max)st}} = \frac{1}{1 - \frac{\lambda(1-n)}{(kL)^2} (1 - tghkL(e^{-kL} + kL) - e^{-kL} + \frac{(kL)^2}{2})} \quad (36)$$

$$\frac{\sigma_{(max)et}}{\sigma_{(max)st}} = \frac{1}{1 + \frac{2(1-n)}{(kL)^2} \left(1 - \frac{1}{CoshkL} - kL tghkL \right)} \quad (37)$$

منحنیهای ترسیم شده در اشکال (۷- الف و ب) تغییرات معادلات فوق را بر حسب مقادیر kL و n نشان می‌دهند:

$$z_{et}(x) = \frac{P}{12EI}x^3 - \frac{PL}{4EI}x^2 - \frac{3PL^2}{16EI}x - \frac{PL^3}{48EI} \quad \frac{L}{2} \leq x \leq L \quad (31)$$

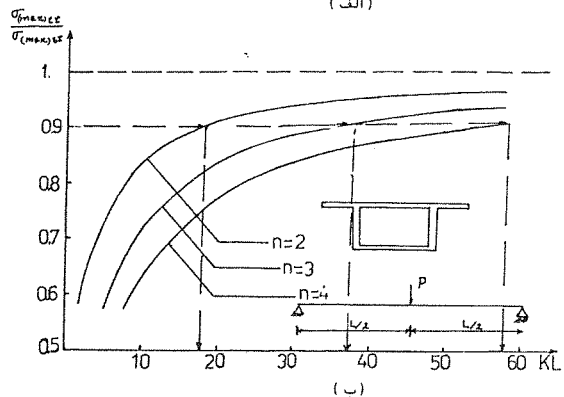
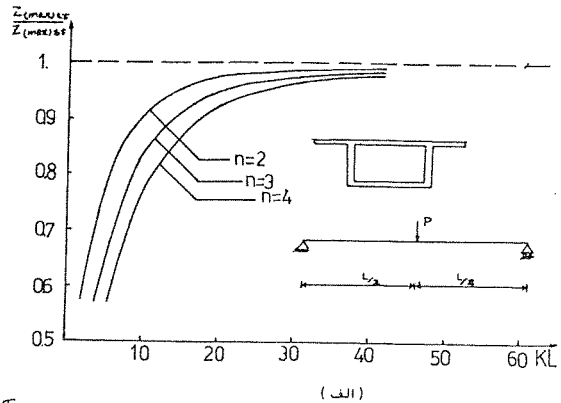
اگر در معادلات (۳۰) و (۳۱) x را مساوی $\frac{L}{2}$ قرار دهیم مقدار z_{max} بر اساس دوتئوری بدست می‌آید و نسبت این دو مقدار برابر می‌شود با:

$$\frac{z_{(max)et}}{z_{(max)st}} = \frac{1}{1 - \frac{24(1-n)}{(kL)^2} \left(\frac{kL}{2} - tgh \frac{kL}{2} \right)} \quad (32)$$

همانند قبل می‌توان نسبت تنشهای ماکزیم حاصل از دوتئوری را تعیین نمود:

$$\frac{\sigma_{(max)et}}{\sigma_{(max)st}} = \frac{z''_{(max)et}}{z''_{(max)st}} = \frac{1}{1 - \frac{2(1-n)}{kL} tgh \frac{kL}{2}} \quad (33)$$

منحنیهای نشان داده شده در اشکال (۵- الف و ب) با توجه به معادلات (۳۲) و (۳۳) ترسیم شده‌اند:



شکل ۵. منحنی تغییرات $\frac{\sigma_{(max)et}}{\sigma_{(max)st}}$ و $\frac{z_{(max)et}}{z_{(max)st}}$ برای تیر صندوقه‌ای با تکیه‌گاههای ساده و بار متمرکز در وسط

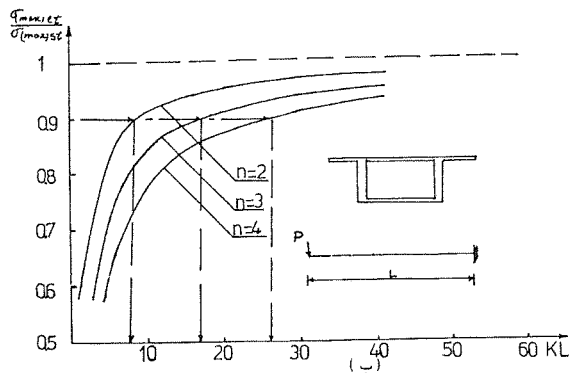
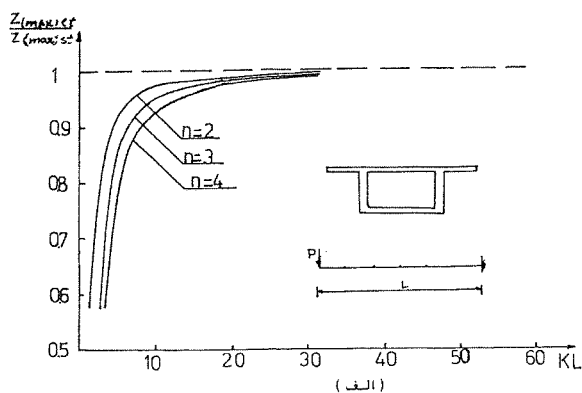
$$z_{el}(x) = \frac{P}{\sqrt{EI}} x^3 - \frac{PL^2}{\sqrt{EI}} x + \frac{PL^3}{3EI} \quad (39)$$

نسبت تغییر شکل و تنشهای حداکثر که از دو تئوری بدست می آید برابرند با:

$$\frac{z_{(max)et}}{z_{(max)st}} = \frac{1}{1 - \frac{3(1-n)}{(kL)^3} (kL - tghkL)} \quad (40)$$

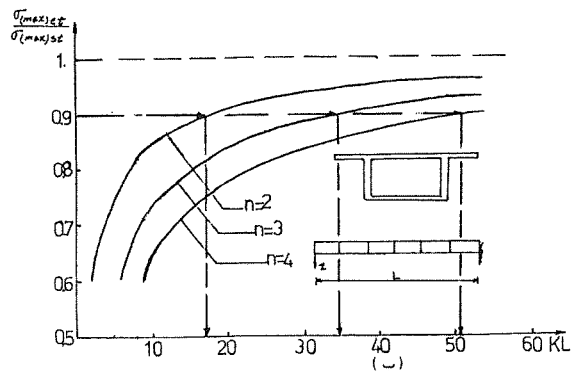
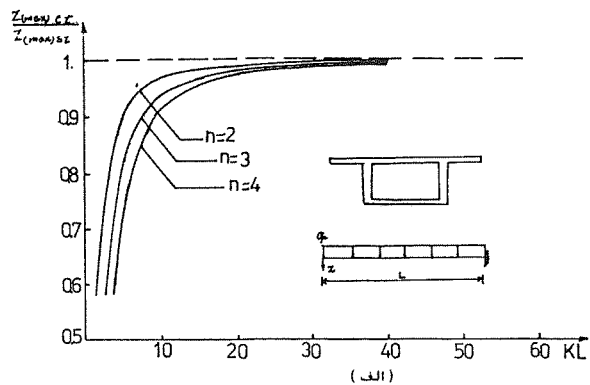
$$\frac{\sigma_{(max)et}}{\sigma_{(max)st}} = \frac{z''_{(max)et}}{z''_{(max)st}} = \frac{1}{1 - \frac{1-n}{kL} tghkL} \quad (41)$$

در اشکال (۹- الف و ب) معادلات (۴۰) و (۴۱) به صورت منحنی ترسیم شده اند:



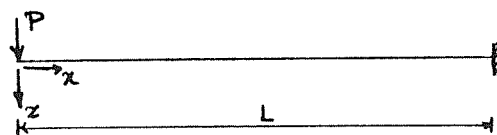
شکل ۹. منحنی تغییرات $\frac{z_{(max)et}}{z_{(max)st}}$ و $\frac{\sigma_{(max)et}}{\sigma_{(max)st}}$ برای تیر -
 طره ای صندوقه ای تحت بار متمرکز در رأس

مثال: برای مقایسه تئوری مقدماتی خمش و تئوری تأخیر برشی
 و آئین نامه BS5400 [۳] مثال مشروحي در مورد یک تیر بامقطع



شکل ۷. منحنی تغییرات $\frac{z_{(max)et}}{z_{(max)st}}$ و $\frac{\sigma_{(max)et}}{\sigma_{(max)st}}$ برای تیر -
 طره ای صندوقه ای تحت بار گسترده یک نواخت

(د) تیر طره ای تحت اثر بار متمرکز (P) در رأس:



شکل ۸.

بر اساس تئوری تأخیر برشی معادله منحنی از تجاعی تیر برابر است با:

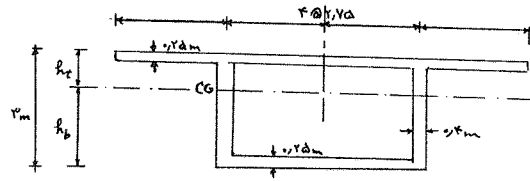
$$z_{st}(x) = \frac{P}{\sqrt{EI}} x^3 - \frac{P}{EI} \left(\frac{L^2}{2} - \frac{n-1}{k^2} \right) x - \frac{(1-n)P}{EI k^3 \cosh kL} \times \sin h kx + \frac{P}{EI} \left(\frac{L^3}{3} - \frac{(1-n)L}{k^2} + \frac{1-n}{k^3} tghkL \right) \quad (38)$$

از تئوری مقدماتی خمش معادله زیر برای تغییر شکل تیر بدست می آید:

نشان داده شده در شکل (۱۰) حل شده و نتایج حاصله در جدول (۱) درج گردیده است:

$$G = 1,042 \times 10^5 \text{ kg/cm}^2$$

$$E = 2,5 \times 10^5 \text{ kg/cm}^2$$



شکل ۱۰. مقطع تیر صندوقه‌ای

نتیجه گیری:

۱) با مطالعه منحنیهای ترسیم شده (اشکال (۳) تا (۹)) نتیجه می‌گیریم که منظور نمودن تأخیر برشی همواره افزایش خیز تیر نسبت به تئوری مقدماتی خمش را به همراه دارد.

۲) منحنیهای (۳) تا (۹) نشان می‌دهند که با افزایش طول تیر نتایج تئوری مقدماتی خمش و تئوری تأخیر برشی به یکدیگر نزدیکتر می‌شوند. با توجه به منحنیهای مزبور در صورتی که KI از مقادیر ذکر شده در جدول (۲) بزرگتر باشد، تنشهای محاسبه شده از تئوری مقدماتی خمش کمتر از ۱۰٪ خطا خواهند داشت. اگر نسبت G/E را $0/4$ فرض نماییم با توجه به معادله (۱۷) می‌توان نسبتهای طول به عرض بال تیر (L/W) را که با مقادیر KI ذکر شده در جدول متناظرند، تعیین نمود.

۳) از مقایسه منحنیهای (۳) و (۵) ملاحظه می‌شود وقتی یک تیر دو سر ساده تحت بار متمرکز قرار می‌گیرد تأخیر برشی در آن شدیدتر از حالتی است که تیر تحت بار گسترده قرار داشته

جدول ۱

بارگذاری و شرایط تکیه گاهی تیر	مقادیر بدست آمده از تئوری مقدماتی خمش		مقادیر بدست آمده از تئوری تأخیر برشی		مقادیر بدست آمده از استاندارد BSS400		مقایسه تئوری مقدماتی خمش با تئوری تأخیر برشی		مقایسه استاندارد BSS400 با تئوری تأخیر برشی		مشخصات اضافی		
	$\sigma_{(max)et}$ Kg/cm ²	$Z_{(max)et}$ cm	$\sigma_{(max)st}$ Kg/cm ²		$Z_{(max)st}$ cm	$\sigma_{(max)BS}$ Kg/cm ²		$Z_{(max)BS}$ cm	$(\Delta\sigma)\%$	$(\Delta Z)\%$		$(\Delta\sigma)\%$	$(\Delta Z)\%$
			$y=0$ cm	$y=27.5$ cm		$y=0$ cm	$y=27.5$ cm						
	-40	3/81	-39/5	-40/7	3/89	-39/0	-40/8	3/90	1/7	2/1	-0/2	-0/3	
	-160	12/21	-142/7	-143/2	12/49	-142	-212	15/55	12/7	2/2	-15/7	-24/5	
	40	2/29	31/85	51	2/36	33/8	52/8	3/02	21/6	3	-3/5	-28/0	
	48	3/66	43	55	3/75	41/3	53/3	4/07	12/7	2/4	3/1	-8/5	
	40	1/59	29/7	53/8	1/67	35/9	47/1	1/83	25/7	4/8	12/5	-9/6	

انهاد هندسی مقطع تیر
مشخصات مکانیکی مصالح
 $E = 2/5 \times 10^5 \text{ Kg/cm}^2$ $G/E = 0/417$

در قسمتی از این تیر تأخیر برشی مثبت و در قسمتی از آن تأخیر برشی منفی وجود دارد
ناحیه تأخیر برشی مثبت $2000 < X < 2090$
ناحیه تأخیر برشی منفی $0 < X < 2000$

از تئوری مقدماتی خمش واکنش تکیه گاهی R_A برابر 187500 Kg بدست می‌آید و از تئوری تأخیر برشی این عکس العمل برابر 181835 Kg حاصل می‌شود

جدول (۲)

بارگذاری و شرایط تکیه گاهی تیر	KI			L/W		
	n=۲	n=۳	n=۴	n=۲	n=۳	n=۴
تیر دوسر ساده تحت بار گسترده	۹	۱۲	۱۵	۶	۷	۸
تیر دوسر ساده تحت بار متمرکز در وسط	۱۸	۳۷	۵۷	۱۳	۲۱	۲۹
تیر طره ای تحت بار گسترده	۱۶	۳۵	۵۱	۱۱	۲۰	۲۶
تیر طره ای تحت بار متمرکز در آنها	۸	۱۷	۲۶	۴	۱۰	۱۳

علت این امر را باید در نمودار تغییرات نیروی برشی جستجو کرد. مقایسه این حالات نشان می‌دهند که هرچه در نمودار نیروی برشی تغییرات نیرو شدیدتر و ناگهانی‌تر باشد تأخیر برشی نیز شدیدتر خواهد بود.

باشد. همچنین منحنیهای (۷) و (۹) نشان می‌دهند وقتی یک تیر طره ای تحت بار گسترده قرار داشته باشد تأخیر برشی شدیدتر از زمانی است که تیر تحت بار متمرکز در رأس قرار گرفته باشد.

پاورقی:

1. Shear lag
2. Total Potential Energy
3. Minimum Potential Energy (Castiglione's law)

منابع:

1. Reissner, E. " Analysis of Shear lag in box beams by the principle of Minimum Potential Energy" Quarterly of Applied Mathematics Vol. 5 ,No.3, October 1946, pp.268-278.
2. Chong, Sh. T and F. Zh Zheng. Negative Shear lag in cantilever box Girder with constant Depth, J. ASCE, Vol.113, No.1,
3. BS.5400, Part 3 1982, British standards Institution, steel Concrete and composite bridges. January 1987.